

# ОПРЕДЕЛЕНИЕ НЕАКТИВНОЙ МОЩНОСТИ И ЕЕ СОСТАВЛЯЮЩИХ ПО МАССИВАМ МГНОВЕННЫХ ЗНАЧЕНИЙ ТОКОВ И НАПРЯЖЕНИЙ

А.О. Сулайманов, Е.И. Гольдштейн

Томский политехнический университет

E-mail: sao@tpu.ru

*Для определения неактивной мощности предложено использовать интегралы обратной мощности за четверть периода, для определения мощности сдвига – площадь вольт-амперной характеристики, а мощность искажения находить как разность между неактивной мощностью и мощностью сдвига. Показана работоспособность предложенных методик для одно- и трехфазных цепей переменного тока.*

При рассмотрении методик определения неактивной мощности и ее составляющих в несинусоидальных режимах авторами была проведена ревизия известных и предложены новые алгоритмы для одно- и трехфазных цепей [1–6].

Ниже кратко рассматриваются основные расчетные формулы (п. 1), результаты экспериментальных исследований однофазных (п. 2) и трехфазных (п. 3) цепей, а также выводы и рекомендации (п. 4).

## 1. Основные понятия и расчетные формулы

В ходе исследований авторы использовали следующие понятия:

- мощность сдвига  $Q_c$  (реактивная мощность сдвига) – часть реактивной мощности, которая характеризует процессы, обусловленные взаимодействием одинаковых по частоте гармоник тока и напряжения;
- мощность искажения  $Q_n$  – часть реактивной мощности, которая характеризует процессы, обусловленные взаимодействием разных по частоте гармоник тока и напряжения;
- неактивная мощность  $Q_n$  (полная реактивная мощность) – реактивная мощность, которая характеризует процессы взаимодействия всех без исключения гармоник тока и напряжения.

В развитие работ О.А. Маевского [7] мощность сдвига предложено определять через площадь ( $F_{BAX}$ ) вольт-амперной характеристики (BAX) [1]

$$Q_C = \frac{1}{4\pi} F_{BAX} = \frac{1}{4\pi} \sum_{j=1}^N [(u(t_j) - u(t_{j+1}))((i(t_j) + i(t_{j+1})))], \quad (1)$$

где  $u(t_j)$ ,  $u(t_{j+1})$ ,  $i(t_j)$ ,  $i(t_{j+1})$  – значения напряжения и тока в дискретные моменты времени

$$t_{j-1}, \quad t_j, \quad t_{j+1}, \quad t_j - t_{j-1} = \Delta t,$$

$\Delta t$  – шаг дискретизации массивов тока (напряжения).

Для определения неактивной мощности, в развитие работ Ю.В. Бакова [8], предложено использовать интегралы мгновенной обратной мощности ( $p_{обp}$ ) за четверть периода

$$\begin{aligned} Q_I &= \frac{4}{T} \int_0^{T/4} p_{обp}(t) dt = \frac{4}{N} \sum_{j=0}^{N/4} p_{обp}(t_j); \\ Q_{II} &= \frac{4}{T} \int_{T/4}^{T/2} p_{обp}(t) dt = \frac{4}{N} \sum_{j=N/4}^{N/2} p_{обp}(t_j); \\ Q_{III} &= \frac{4}{T} \int_{T/2}^{3T/4} p_{обp}(t) dt = \frac{4}{N} \sum_{j=N/2}^{3N/4} p_{обp}(t_j); \\ Q_{IV} &= \frac{4}{T} \int_{3T/4}^T p_{обp}(t) dt = \frac{4}{N} \sum_{j=3N/4}^N p_{обp}(t_j). \end{aligned}$$

Обратная мгновенная мощность рассчитывается при ранее найденной активной (средней за период) мощности:

$$\begin{aligned} p_{обp}(t) &= p(t) - P; \\ p(t) &= u(t) i(t); \\ P &= \frac{1}{N} \sum_{j=1}^N p(t_j); \\ N &= \frac{T}{\Delta t}; \end{aligned}$$

$T$  – период функции тока (напряжения).

Неактивная мощность рассчитывается по формуле

$$Q_H = \frac{1}{2} (Q_I + Q_{III}) = \frac{1}{2} (Q_{II} + Q_{IV}). \quad (2)$$

Формулы для прямого определения мощности искажений авторам не известны, поэтому предлагается определять ее через неактивную мощность (2) и мощность сдвига (1)

$$Q_H = Q_H - Q_C.$$

В трехфазных четырехпроводных электрических цепях суммарные неактивные мощности определяются как сумма неактивных мощностей фаз.

$$Q_{\Sigma} = Q_A + Q_B + Q_C.$$

В трехфазных трехпроводных цепях, при неуступной нулевой точке, трехфазная цепь рассматривается как двухфазная с нулевым проводом, где роль нулевого провода играет третья фаза.

$$Q_{\Sigma} = Q_{AC} + Q_{BC}. \quad (3)$$

Для проверки работоспособности описанных процедур были проведены вычислительные эксперименты для одно- и трехфазных цепей. При получении массивов токов и напряжений использовалась программа моделирования PSpice. При моделировании процедур определения неактивной мощности и ее составляющих были использованы оригинальные программы, созданные в среде Delphi.

## 2. Однофазные цепи

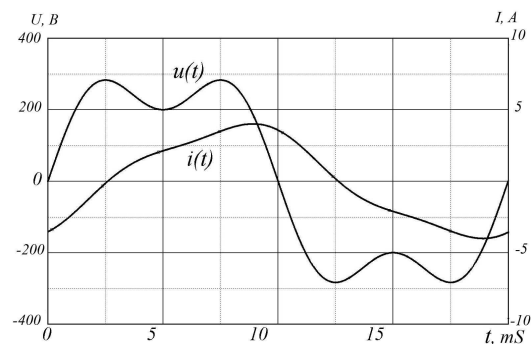
В таблице приведены основные результаты вычислительных экспериментов.

На рис. 1 и 2 приведены графики  $u(t)$ ,  $i(t)$ , мгновенной  $p(t)$  и активной мощности  $P$ , обратной мощности  $p_{обp}(t)$ , а также построена BAX для примеров № 4 и № 8.

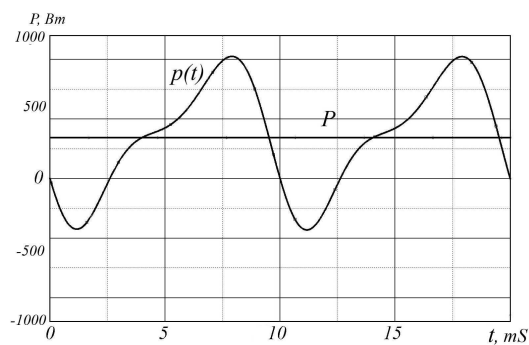
Первый пример в таблице показывает работоспособность формул (1) и (2) для синусоидального режима. В случае появления нечетной гармоники в токе или в напряжении (примеры № 2, 3, 3а) мощность сдвига не изменяется, а неактивная мощность изменяет свое значение на величину мощности сдвига. Это подтверждают примеры № 5 и 6, где

**Таблица.** Результаты экспериментальных расчетов для однофазной цепи

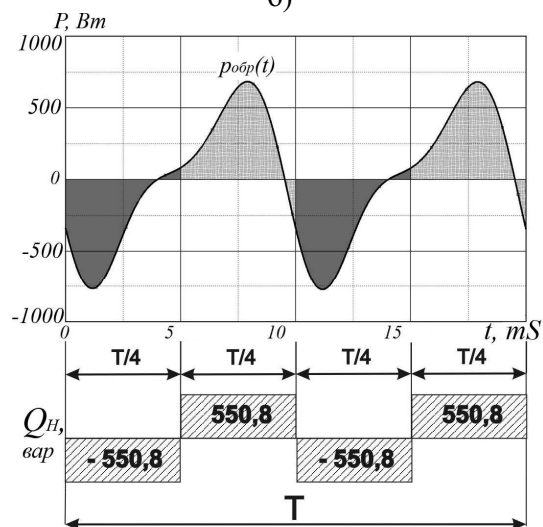
№ примера	Напряжение и ток	Активная мощность	Неактивная мощность	Мощность сдвига	Мощность искажения
		$P$ , Вт	$Q_H$ , вар	$Q_C$ , вар	$Q_H$ , вар
1	$u(t)=300\sin\omega t$ ; $i(t)=3,8\sin(\omega t-54)$	335	461,1	461,1	0
2	$u(t)=300\sin\omega t+100\sin 3\omega t$ ; $i(t)=3,8\sin(\omega t-54)$	335	616,6	461,1	155,5
3	$u(t)=300\sin\omega t$ ; $i(t)=3,8\sin(\omega t-54)+0,513\sin(3\omega t-75,1)$	335	387,1	461,1	-74
3а	$u(t)=300\sin\omega t$ ; $i(t)=3,8\sin(\omega t-54)+0,513\sin(3\omega t+75,1)$	335	535,1	461,1	74
4	$u(t)=300\sin\omega t+100\sin 3\omega t$ ; $i(t)=3,8\sin(\omega t-54)+0,513\sin(3\omega t-75,1)$	341,6	550,8	535,5	15,3
5	$u(t)=300\sin\omega t$ ; $i(t)=0,513\sin(3\omega t-75,1)$	77	74	0	74
6	$u(t)=100\sin\omega t$ ; $i(t)=3,8\sin(\omega t-54)$	190	155,5	0	155,5
7	$u(t)=100\sin\omega t$ ; $i(t)=0,513\sin(3\omega t-75,1)$	25,7	8,26	74,4	-66,1
8	$u(t)=300\sin\omega t+100\sin 2\omega t$ ; $i(t)=3,8\sin(\omega t-54)+0,74\sin(2\omega t-68,2)$	612,1	461,1	529,8	-68,7
9	$u(t)=300\sin\omega t$ ; $i(t)=3,8\sin(\omega t-54)+0,74\sin(2\omega t-68,2)$	580,7	461,1	461,1	0
9а	$u(t)=300\sin\omega t$ ; $i(t)=3,8\sin(\omega t-54)+0,74\sin(2\omega t+68,2)$	580,7	461,1	461,1	0
10	$u(t)=300\sin\omega t+100\sin 2\omega t$ ; $i(t)=3,8\sin(\omega t-54)$	600,1	461,1	461,1	0



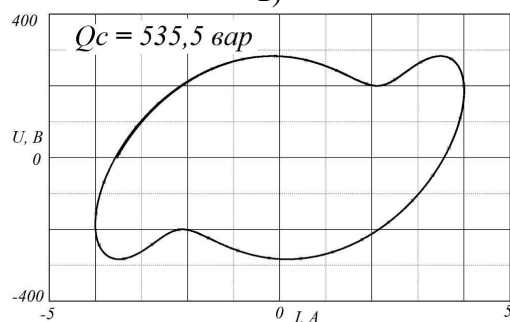
а)



б)

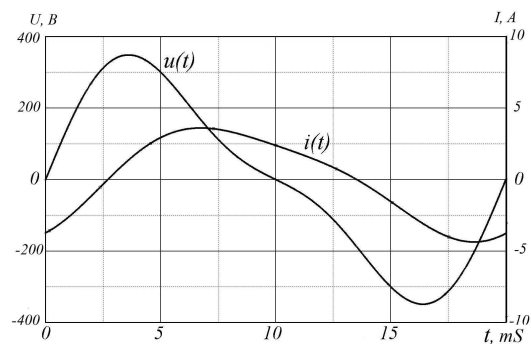


в)

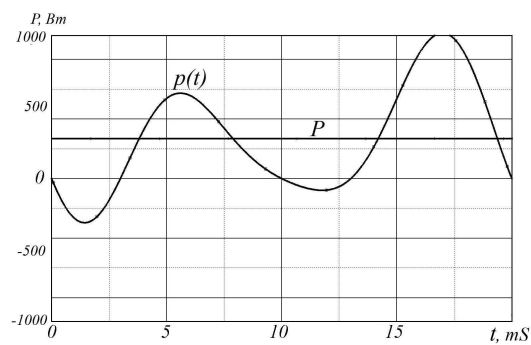


г)

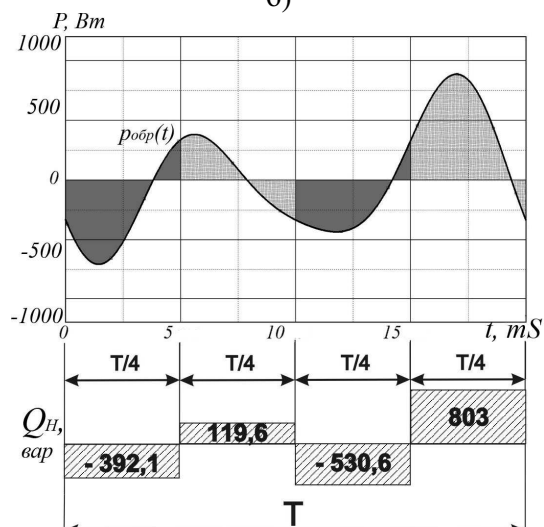
Рис. 1. Графики для примера № 4



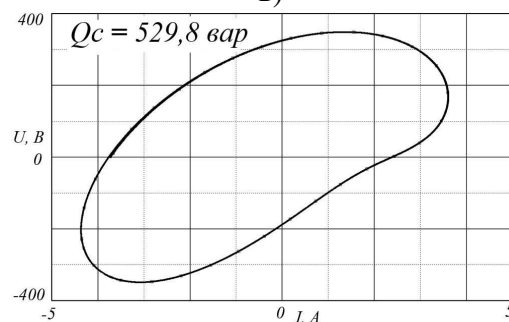
а)



б)

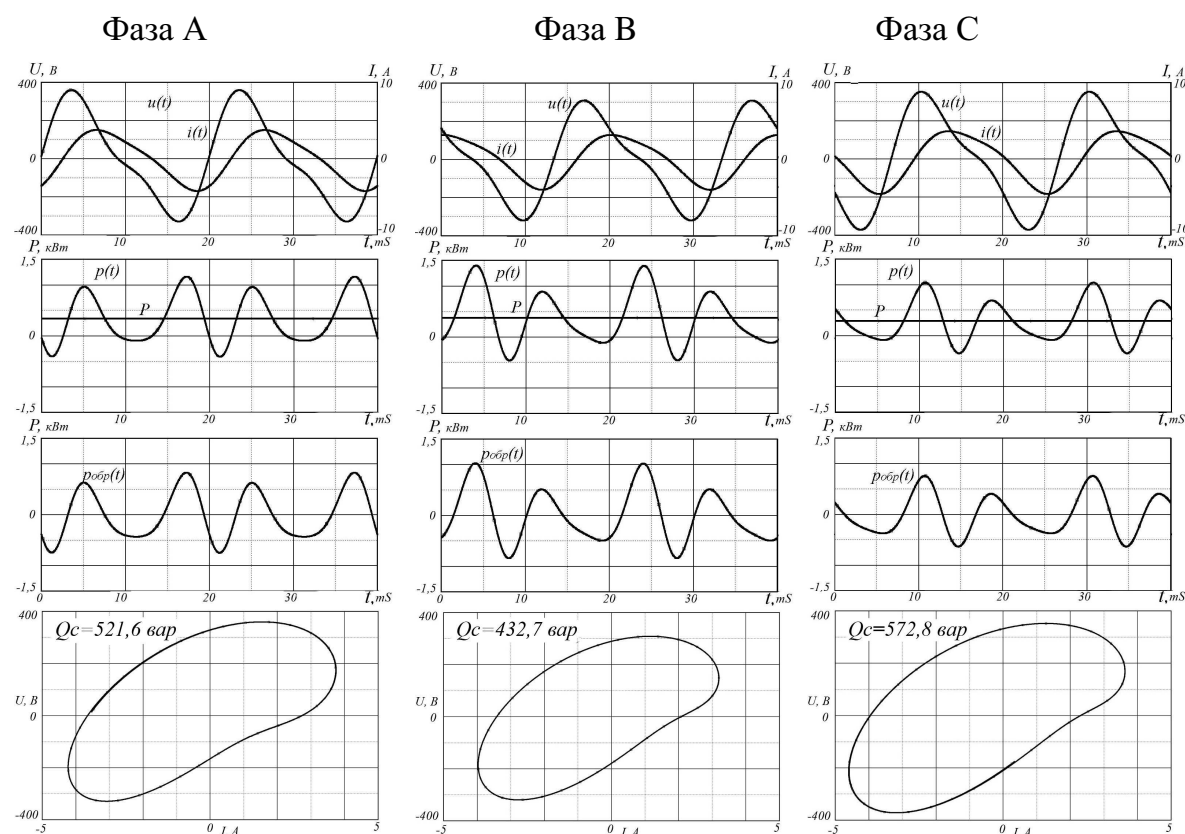


в)



г)

Рис. 2. Графики для примера № 8



Фазы	$P$ , Вт	$Q_H$ , вар	$Q_C$ , вар	$Q_H$ , вар
A	341,7	420	521,6	101,6
B	284,6	388,9	432,7	43,6
C	375,6	518,7	572,8	54,1
Для трехфазной системы	1001,9	1327,6	1527,1	199,5

Рис. 3. Графики и результаты расчетов для примера № 11

показаны результаты расчетов для случаев взаимодействия основной и третьей гармоник. Следует отметить изменение знака мощности искажений при изменении знака фазы нечетной гармоники (примеры № 3, 3а). Пример № 7 демонстрирует, что для случая, когда в токе и напряжении присутствует только нечетная гармоника, мощность сдвига определяется правильно, что нельзя сказать о неактивной мощности и мощности искажения. Значение последней в этом случае должно равняться нулю.

В случаях с четными гармониками (примеры № 8–10) мощность искажения при определении неактивной мощности не учитывается. А мощность сдвига рассчитывается правильно. Кроме того в неактивной мощности не учитывается и реактивная мощность третьей гармоники.

### 3. Трехфазные цепи

На рис. 3 показаны графики напряжений, токов и мощностей отдельных фаз трехфазной четырех-

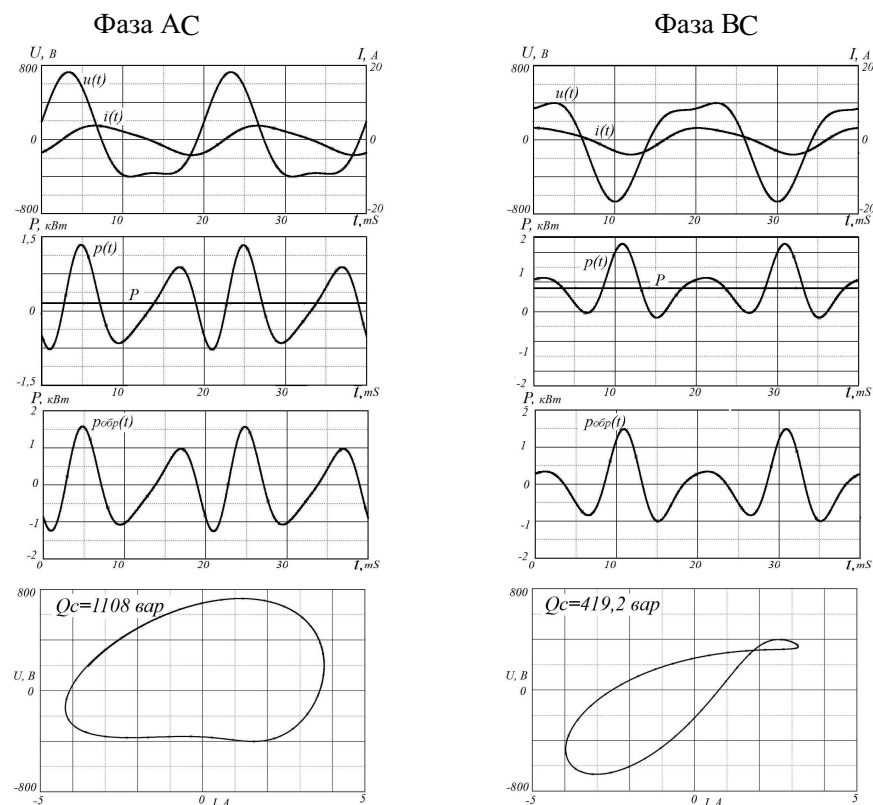
проводной сети (пример № 11). Здесь же приведены результаты расчетов мощностей  $Q_H$ ,  $Q_C$ ,  $Q_H$  для каждой фазы и системы в целом, при несимметрии токов и напряжений отдельных фаз и наличия в них нечетных гармоник.

На рис. 4 приведены графики и результаты расчета суммарной мощности трехфазной трехпроводной цепи (пример № 12) через мощности искусственных фаз АВ и ВС, см. формулу (3). Фазные токи и напряжения — как в примере № 11.

Сопоставление результатов расчетов трехфазной цепи представленные на рис. 2 и 3 показывают, что для методики с использованием искусственных фаз АС и ВС годится только формула определения мощности сдвига (1).

### 4. Выводы

4.1. Примеры № 1, 2, 4–8 убедительно показывают, что мощность сдвига определяется только одинаковыми по частоте гармониками тока и напряжения.



Фазы	$P$ , Вт	$Q_H$ , вар	$Q_C$ , вар	$Q_H$ , вар
AC	206,4	754,6	1108	353,4
BC	795,5	726,3	419,2	-307,1
Для трехфазной системы	1001,9	1480,9	1527,2	46,3

Рис. 4. Графики и результаты расчетов для примера № 12

- 4.2. Примеры № 3 и 3а свидетельствуют об изменении знака мощности искажения при изменении знака фазового сдвига третьей гармоники тока. Это говорит о том, что мощность искажения учитывается в неактивной мощности, определяемой по формуле (5).
- 4.3. Примеры № 9, 9а, 10 подтверждают мнение о том, что в неактивной мощности, формула (2),

не учитывается мощность искажения при взаимодействии нечетных и четных гармоник тока (напряжения).

- 4.4. Примеры № 11, 12 подтверждают работоспособность предложенного авторами способа измерения мощности сдвига в трехфазной трехпроводной цепи при недоступности нуля нагрузки.

## СПИСОК ЛИТЕРАТУРЫ

1. Функциональный контроль и диагностика электротехнических и электромеханических систем и устройств по цифровым отсчетам мгновенных значений тока и напряжения // Под ред. Е.И. Гольдштейна. – Томск: Печатная мануфактура, 2003. – 240 с.
2. Сулайманов А.О. Реактивная мощность в несинусоидальных режимах однофазной цепи // Современные техника и технологии: Труды 8-й Междунар. научно-практ. конф. студентов, аспирантов и молодых ученых. – Томск, Изд-во ТПУ, 2002. – Т. 1. – С. 62–63.
3. Гольдштейн Е.И., Сулайманов А.О., Бацева Н.Л. Использование циклической вольт-амперной характеристики при экспериментальных исследованиях электротехнических устройств и систем // Проблемы современной радиоэлектроники и систем управления: Труды Всеросс. научно-практ. конф. – Томск, 2002. – С. 42–44.
4. Goldstein E., Batseva N., Sulaimanov A., Valov B. Ein Berechnungsverfahren von Lastcharakteristika durch Momentanwerte von Stromen und Spannungen // Technische Universität Ilmenau. 48 Intern. Wissenschaftliches Kolloquium, 22–25 Sept. 2003. – Tagungsband, 2003. – S. 569–570.
5. Пат. 2223509 РФ. МПК' G01R 21/06. Способ измерения мощности искажения в однофазной цепи переменного тока / Е.И. Гольдштейн, А.О. Сулайманов. Заявлено 29.04.2002.
6. Пат. на ПМ 41373 РФ. МПК' G01R 21/00. Устройство для измерения реактивной мощности сдвига в трехфазной трехпроводной цепи переменного тока / Е.И. Гольдштейн, А.О. Сулайманов. Заявлено 07.06.2004.
7. Маевский О.А. Энергетические показатели вентильных преобразователей. – М.: Энергия, 1978. – 320 с.
8. Баков Ю.В. Мощность переменного тока. – Иваново: Изд-во Ивановского гос. энергетического ун-та, 1999. – 252 с.